





*Niels Bohr - Si la mécanique quantique ne vous a pas encore profondément choqué, alors vous ne l'avez pas encore comprise. Tout ce que nous appelons réel est fait de choses qui ne peuvent pas être considérées comme étant réelles.*

*Niels Bohr - Si une idée ne semble pas bizarre, il n'y a rien à espérer d'elle.*

*Heinz Pagels - Dieu a utilisé de merveilleuses mathématiques pour créer le monde.*

*Richard Feynmann - Je pense pouvoir dire sans trop me tromper que personne ne comprend la mécanique quantique.*

*Richard Feynmann, 1982 - Nature isn't classical, dammit, and if you want to make a simulation of nature, you better make it quantum mechanical*

*Albert Einstein - If you can't explain it simply, you don't understand it well enough*

# Qu'est-ce qu'un ordinateur ?

D'après le Dictionnaire Larousse,

*Machine automatique de traitement de l'information, obéissant à des programmes formés par des suites d'opérations arithmétiques et logiques.*

Plusieurs déclinaisons ont été faites autour de ce concept :

- la *machine à différences* de Lord Babbage, basée sur des composants mécaniques,
- les ordinateurs basés sur l'électronique, qui s'appuient sur la théorie physique de l'électromagnétisme et donc sur les équations de Maxwell

L'ordinateur quantique,

- une évolution logique du concept, mais s'appuyant sur les phénomènes décrits par la physique quantique.



Le *Quantum Computing* est né dans les années 80

- Une première conférence sur le QC au MIT en 1981
- Beaucoup d'études théoriques sur le QC
  - Algorithme de Shor, 1994
  - Algorithme de Grover, 1996

L'informatique quantique a de solides bases théoriques

- dans le domaine de la physique (physique quantique, physique statistique)
- dans le domaine des mathématiques (algèbre linéaire, algèbre hermitienne)

En revanche les implémentations physiques "réelles" des QPUs sont très récents.

Le *Quantum Computing* est un nouveau paradigme informatique basé sur les phénomènes à la physique quantique :

- 1 la superposition,
  - qui permet d'induire une forme de parallélisme (à relativiser...)
- 2 l'intrication,
  - qui permet de coupler des systèmes simples pour de bâtir des systèmes plus complexes
- 3 les interférences,
  - qui permettent de mesurer les états quantiques et d'obtenir des résultats de calcul.









# L'équation de Schrödinger

La physique quantique décrit des phénomènes qui se produisent à l'échelle des atomes.

Elle est décrite par l'équation de Schrödinger

$$i\hbar \frac{\partial}{\partial t} \Psi(x, t) = -\frac{\hbar^2}{2m} \nabla^2 \Psi(x, t) + V(x, t) \Psi(x, t).$$

On note que

- c'est une équation à valeurs dans  $\mathbb{C}$ , on remarque en particulier le  $i$  des imaginaires purs dans la partie gauche.
- on reconnaît l'opérateur  $\nabla$  de la géométrie différentielle, utilisé dans les équations de Maxwell (électromagnétisme) et dans l'équation de Navier-Stokes (hydrodynamique)
- $\hbar = \frac{h}{2\pi}$  où  $h$  est la constante de Planck ( $h = 6,62607015 \cdot 10^{-34} \text{ J.s}$ )
- les actions sur des objets quantiques sont des opérateurs unitaires dans un espace de Hilbert



# La superposition

Les objets quantiques sont des compositions linéaires d'états de base qui forment une base orthonormée, par exemple

$$|\Psi\rangle = \alpha|0\rangle + \beta|1\rangle + \gamma|2\rangle + \delta|3\rangle$$

Les coefficients complexes  $\alpha$ ,  $\beta$ ,  $\gamma$  et  $\delta$  sont des *probabilités complexes*

- Ils respectent la condition de normalisation  $|\alpha|^2 + |\beta|^2 + |\gamma|^2 + |\delta|^2 = 1$
- le carré du module de chaque coefficient représente la probabilité de mesurer l'état concerné (ainsi on a une probabilité  $|\alpha|^2$  de voir l'état  $|0\rangle$  quand on observe  $|\psi\rangle$ )











# Plan

- 1 Qu'est-ce que l'informatique quantique
- 2 Un peu de physique quantique
- 3 Portes quantiques**
- 4 Algorithmes quantiques
- 5 Informatique quantique analogique
- 6 Hybridation HPC/QC avec Pasqal
- 7 Autres aspects
- 8 Conclusion























# Intrication et porte CNOT 1/2

La porte CNOT, ou CX, introduit la notion d'intrication, elle introduit une notion de "if-then-else" qui permet de construire des schémas de programmation conditionnelle.

CNOT agit sur un état à 2 qubits, si le premier est  $|0\rangle$ , elle ne touche pas au second, mais s'il vaut  $|1\rangle$  elle l'inverse en appliquant une porte X

$$CX |00\rangle = |00\rangle, CX |01\rangle = |01\rangle, CX |10\rangle = |11\rangle, CX |11\rangle = |10\rangle$$

CX est une matrice  $4 \times 4$

$$CX = \begin{pmatrix} 1 & 0 & 0 & 0 \\ 0 & 1 & 0 & 0 \\ 0 & 0 & 0 & 1 \\ 0 & 0 & 1 & 0 \end{pmatrix}$$

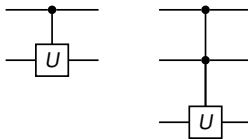




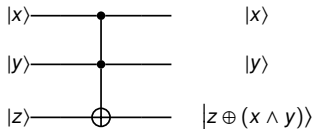
# Portes contrôlées

La porte CNOT est très importante, on peut l'utiliser pour construire des portes contrôlées

- étant donné  $U$ , on l'applique sur le second qubit si le premier est dans l'état  $|1\rangle$
- on peut construire des portes à double, triple, quadruple.. contrôles
- le fait qu'il existe des racines de  $U$  est critique dans la construction de ces opérateurs à contrôle multiples



En particulier la porte CCNOT, ou porte de Toffoli est très classiquement utilisée





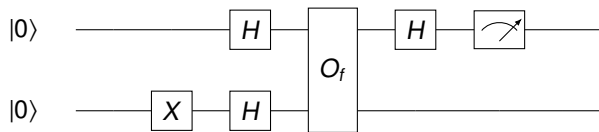




# Algorithme de Deutsch-Jozsa

Soit  $f$  une fonction binaire :  $f : \{0, 1\} \rightarrow \{0, 1\}$ , qui est soit constante, soit uniforme.

En informatique classique, il faut faire deux évaluations de  $f$ , le QC n'invoque  $O_f$  qu'une fois.



L'état final de ce circuit est

$$|\Psi_{final}\rangle = \frac{|0\rangle + (-1)^{f(0)+f(1)} |1\rangle}{\sqrt{2}} \otimes |-\rangle$$

- Si  $f$  est constante,  $f(0) = f(1)$  alors  $|\phi_2\rangle = \frac{(|0\rangle+|1\rangle)(|0\rangle-|1\rangle)}{2} = |+\rangle|-\rangle$
- Si  $f$  est uniforme,  $f(0) \neq f(1)$  alors  $|\phi_2\rangle = \frac{(|0\rangle-|1\rangle)(|0\rangle-|1\rangle)}{2} = |-\rangle|-\rangle$

En mesurant le premier qubit, on voit  $|+\rangle$  ou  $|-\rangle$  selon la nature de  $f$ .

Soit un chapeau contenant deux boules, soit deux noires, soit une noire et une blanche, Deutsch-Jozsa permet de décider en un coup. Il est généralisable à une fonction binaire sur  $n$  bits.







# Algorithme de Shor - Recherche de période

Connaissant  $N$ , pour tout entier  $a$  inférieur à  $\sqrt{N}$  on construit la fonction

$$f_a : k \mapsto a^k \text{ modulo } N$$

Si il y a un entier  $r$  tel que  $f_a(r) = a^r = 1$  alors  $f_a(p+r) = a^p a^r = 1$  et donc  $f_a$  est  $r$ -périodique.

La partie quantique de l'algorithme de Shor consiste à

- prendre une valeur  $a$
- identifier si  $f_a$  a une période  $r$ , si  $r$  est paire, on a gagné.

Cette partie s'appuie sur

- un cricuit quantique inspiré de l'algorithme de Simon, qui trouve la périodicité d'une fonction booléene
- sur des transformées de Fourier discrètes (QFT) qui sont des implémentations quantique des transformées de Fourier discrète (DFT)



# Rappel - Discrete Fourier Transform (DFT) - Matrice de Vandermonde

On peut exprimer la DFT sous forme matricielle, c'est la matrice de Vandermonde.

$$QF_n = \frac{1}{\sqrt{N}} W_N = \frac{1}{\sqrt{N}} \begin{pmatrix} 1 & 1 & 1 & \dots & 1 \\ 1 & \omega_N & \omega_N^2 & \dots & \omega_N^{N-1} \\ \vdots & \vdots & \vdots & \ddots & \vdots \\ 1 & \omega_N^{N-1} & \omega_N^{2(N-1)} & \dots & \omega_N^{(N-1)(N-1)} \end{pmatrix}$$

**Exemple** : Dans le cas où il y a 3 qubits, on aura la matrice 8 × 8 suivante

$$QF_8 = \frac{1}{\sqrt{8}} \begin{pmatrix} 1 & 1 & 1 & 1 & 1 & 1 & 1 & 1 \\ 1 & \omega & \omega^2 & \omega^3 & \omega^4 & \omega^5 & \omega^6 & \omega^7 \\ 1 & \omega^2 & \omega^4 & \omega^6 & \omega^1 & \omega^3 & \omega^5 & \omega^7 \\ 1 & \omega^3 & \omega^6 & \omega & \omega^4 & \omega^7 & \omega^2 & \omega^5 \\ 1 & \omega^4 & \omega^1 & \omega^5 & \omega^2 & \omega^6 & \omega^3 & \omega^7 \\ 1 & \omega^5 & \omega^2 & \omega^7 & \omega^4 & \omega & \omega^6 & \omega^3 \\ 1 & \omega^6 & \omega^4 & \omega^2 & \omega^1 & \omega^6 & \omega^4 & \omega^2 \\ 1 & \omega^7 & \omega^6 & \omega^5 & \omega^4 & \omega^3 & \omega^2 & \omega^1 \end{pmatrix} \text{ avec } \omega = e^{\frac{2i\pi}{8}}$$

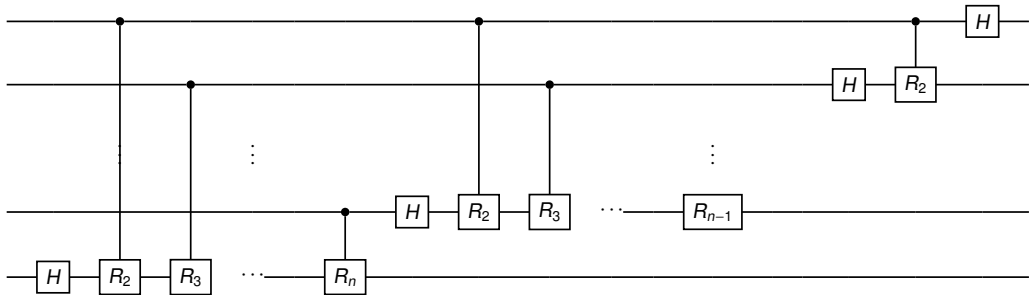
La matrice de Vandermonde est unitaire.

# Circuit QFT

Le circuit suivant implémente la matrice de Vandermonde

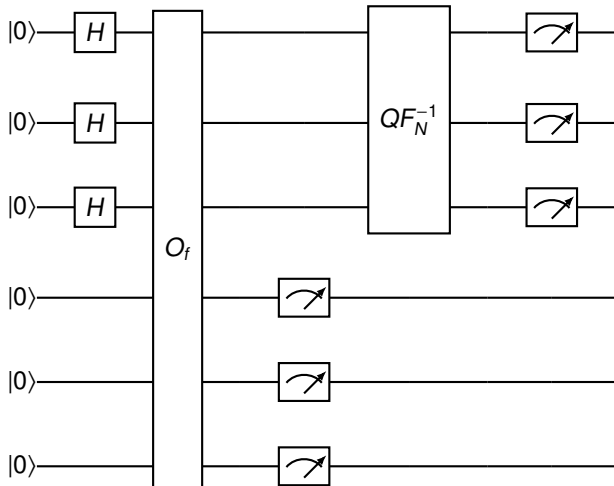
Elle s'appuie sur la formulation mathématique

$$QF_n \times |k\rangle = \frac{1}{\sqrt{2^n}} \sum_{j=0}^{2^n-1} e^{-2i\pi \frac{kj}{2^n}} |j\rangle = \frac{1}{\sqrt{2^n}} \bigotimes_{j=0}^n (|0\rangle + e^{2i\pi \frac{k}{2^j}} |1\rangle)$$



## Circuit implémentant l'algorithme de Shor

La partie quantique de l'algorithme de Shor est la suivante



Où  $O_f$  est un oracle qui implémente l'élevation à la puissance d'un entier  $a$ .



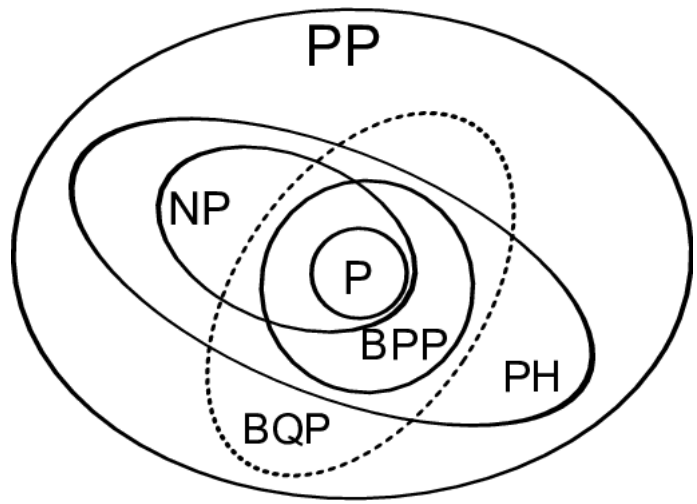








# N et NP ne sont pas les seules classes de complexité





# Les problèmes de Karp 1/2

En 1972, dans la foulée du théorème de Cook en 1971, le mathématicien Karp rescence 21 problèmes qui sont tous de nature **NPC**, on peut passer de l'un à l'autre au prix d'une transformation polynomiale.

- SATISFIABILITY : le problème SAT pour les formules en forme normale conjonctive
- CLIQUE : le problème de détection de clique dans un graphe
- SET PACKING : Set packing (empaquetage d'ensemble)
- VERTEX COVER : le problème de couverture par sommets, le problème MIS qui lui est dual
- SET COVERING : le problème de couverture par ensembles
- FEEDBACK ARC SET : feedback arc set
- FEEDBACK NODE SET : feedback vertex set
- DIRECTED HAMILTONIAN CIRCUIT
- UNDIRECTED HAMILTONIAN CIRCUIT
- INTEGER PROGRAMMING : voir optimisation linéaire en nombres entiers
- 3-SAT : problème SAT dont les clauses ont 3 arguments au plus
- CHROMATIC NUMBER : coloration de graphe



# Simulated Annealing

Le QUBO peut être résolu, par des méthodes HPC classiques, à l'aide de l'algorithme de *Simulated Annealing* ou "recuit simulé" créé en 1983.

Cet algorithme se base sur une idée empruntée à la métallurgie. Dans ce domaine, il est utile d'amener le métal à son niveau d'énergie le plus bas, où il devient ductile et est plus facile à travailler. Les forgerons réalisent cela en alternant des cycles comprenant des refroidissements lents et des étapes de réchauffage, ou *recuits*<sup>1</sup>.

L'algorithme de recuit simulé suit une approche dite "métaheuristique" qui dérive de l'algorithme de Metropolis-Hastings, issu de la modélisation des phénomènes thermodynamiques. De nombreuses implémentations existent, en particulier dans l'outil Mathematica. Il a souvent été utilisé pour résoudre des problèmes de graphes, en particulier ceux relatifs à la topologie de grands réseaux informatiques.

---

1. par opposition, un refroidissement rapide, ou *trempe* va laisser le métal dans un état d'énergie élevé où il est dur mais peut casser, pour forger des couteaux par exemple



# Le problème Max-Cut 2/2

**Remarque** : d'une manière analogue, on peut définir un Min-Cut, une coupe minimum telle que le poids soit la plus faible valeur possible.

On peut associer deux types de problème à une coupe maximum :

- problème de *décision* : étant donné un graphe  $G$  et un entier  $k$ , existe-t'il une coupe de  $G$  dont le poids est au moins égal à  $k$  ;
- problème d'*optimisation* : étant donné un graphe  $G$ , quelle est la coupe maximum, celle qui maximise le poids ;

On peut démontrer que le problème Max-Cut se résout en un temps polynomial quand le graphe est planaire, il se ramène alors à l'identification des arêtes du graphe qui n'ont pas de sommets en commun. Un graphe est planaire s'il admet une représentation sagittale dans un plan sans que les arêtes se croisent.

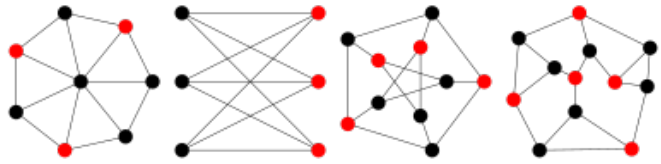
Quand les graphes deviennent plus complexes, le problème de décision est NP-complet mais le problème d'optimisation est NP-dur.

# Le problème MIS

Étant donné un graphe  $G$  on peut définir un *ensemble indépendant* (ou *independent set*) par un sous-ensemble  $S$  de sommets de  $G$  tel qu'il n'existe aucune arête qui relie deux éléments de  $S$ .

Il existe souvent plusieurs solutions à ce problème.

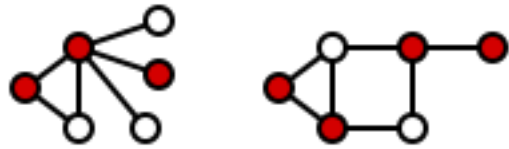
Les MIS sont des *sous-ensembles dominants*. On dit qu'un sous-ensemble  $D$  d'un graphe  $G$  est dominant si chaque sommet de  $G$  est soit un élément de  $D$ , soit dispose d'un voisin dans  $D$  (donc il existe une arête qui le relie à un élément de  $D$ ) s'il n'est pas dans  $D$ . Les MIS sont les plus grands sous-ensembles dominants.



# Le problème MVC

Le problème MVC, acronyme de *Minimum Vertex Cover*, ou *problème de couverture par sommets*, est un problème dual du problème MIS.

Une couverture par sommets, aussi appelée *transversal* d'un graphe  $G$  est un ensemble  $C$  de sommets tel que chaque arête de  $G = (V, E)$  est incidente à au moins un sommet de  $C$ , C'est à dire un sous-ensemble de sommets  $S \subseteq V$  tel que pour chaque arête  $(u, v)$  de  $G$  on a  $u \in S$  ou  $v \in S$ . On dit que l'ensemble  $C$  couvre les arêtes de  $G$ .



# Le problème SAT 1/2

Le problème SAT ou le *problème de satisfaisabilité booléenne* est un problème de décision. Étant donné des variables booléennes (qui prennent les valeurs *vrai* ou *faux*) et une proposition, c'est-à-dire une formule qui combine ces variables avec des opérateurs booléens, on cherche à savoir s'il existe une combinaison de valeurs des variables qui rende vraie cette proposition .

Par exemple, la proposition  $(p \wedge q) \vee \neg p$  est vraie pour toutes valeurs de  $q$  si  $p$  a la valeur *faux*, de même la proposition  $(p \wedge \neg p)$  ne peut être satisfaite par aucune valeur de  $p$ .

Le problème SAT est l'archétype même des problèmes NP-complets. On peut identifier différentes formes simplifiées de SAT. Avant d'aller plus loin, on doit définir ce qu'est une *Forme Normale Conjonctive*, ou CNF<sup>2</sup>. Une conjonction est une opération "AND", une forme normale conjonctive est une équation booléenne qui est une évaluation d'une succession de clauses qui ne contiennent pas de AND.

---

2. en anglais l'acronyme devient *Conjunctive Normal Form*

# Le problème SAT 2/2

Une CNF est donc de la forme  $(clause1) \wedge (clause2) \wedge \cdots \wedge (clauseN)$ . Chaque clause est elle-même de la forme  $a \vee \cdots \vee b$  avec éventuellement des négations  $\neg v$ . Une CNF s'écrit donc

$$\bigwedge_{i=1}^p \left( \bigvee_{j=1}^q l_{ij} \right) \text{ avec } l_{ij} = a_{ij} \text{ ou } l_{ij} = \neg a_{ij}$$

Les simplifications les plus courantes du problème SAT sont :

- le problème **CNF-SAT** correspond au cas où la proposition est une CNF ;
- le problème **3-SAT** est une restriction de CNF-SAT où chaque clause comporte au plus 3 variables ;
- le problème **2-SAT** est une restriction de CNF-SAT où chaque clause comporte au plus 2 variables.

Le problème 2-SAT est de complexité P, mais 3-SAT est de difficulté NP.

On peut montrer que le problème SAT se ramène toujours au problème 3-SAT.

Le problème SAT est la base de la démonstration du théorème de Cook.

# Le problème QUBO 1/2

L'acronyme *QUBO* signifie *Quadratic Unconstrained Binary Optimisation*. Il permet de résoudre des problèmes d'optimisation qui se ramènent, dans les grandes lignes, à la recherche d'optima d'une forme quadratique.

Étant donnée un entier  $n \in \mathbb{N}$ , étant donné  $\mathbb{B}^n = \{0; 1\}^n$ , l'ensemble des vecteurs de taille  $n$  formés de 0 et de 1, étant donné une forme quadratique  $f_Q$  représentée par une matrice  $Q \in n\mathbb{R}^{n \times n}$ , quel est la valeur  $x^* \in \mathbb{B}^n$  qui minimise  $f_Q(x) = x^T \cdot Q \cdot x$

Le problème QUBO possède différentes propriétés :

- multiplier  $Q$  par un facteur  $\alpha$  ne change pas l'optimum ;
- inverse le signe de  $Q$  (mettre un moins devant) revient à chercher un maximum plutôt qu'un minimum ;
- si  $Q$  est une matrice diagonale, le problème est trivial également, le bit de rang  $i$  sera 0 si  $Q_{ii}$  est positif et 1 sinon ;

# Le problème QUBO 2/2

D'une manière générale, on ajoute parfois au terme quadratique un terme linéaire, l'énoncé devient alors

$$Q \in \mathbb{R}^{n \times n}, c \in \mathbb{R}^n, \text{ trouver la valeur } x^* \text{ qui minimise } f(x) = x^T \cdot Q \cdot x + c^T \cdot x$$

Le problème QUBO trouve des applications dans de nombreux domaines, car il est bien adapté à la recherche d'un optimum. Il intéresse ainsi les domaines de la finance, de l'économie, mais aussi la logistique et l'intelligence artificielle.

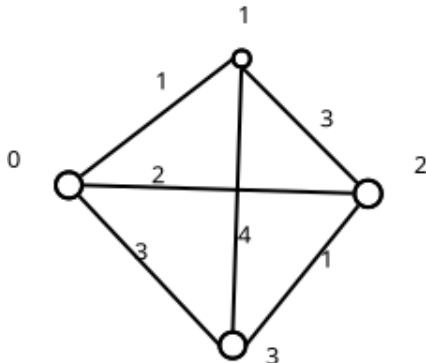
Le problème QUBO est de nature NPC



# Résoudre MaxCut avec QUBO 1/3

Considérons le graphe suivant, il dispose de 4 noeuds, numérotés de 0 à 3, les arêtes portent différents poids allant de 1 à 4.

Ainsi, l'arête entre les noeuds 1 et 4 porte le poids 4 et celle entre 2 et 3 le poids 1.



# Résoudre MaxCut avec QUBO 2/3

On peut traduire ce graphe par une "matrice de connectivité"  $W$  dont les coefficients  $w_{ij}$  sont

- 0 si  $i = j$
- le poids de l'arête entre  $i$  et  $j$  si  $i \neq j$

Dans notre exemple, on va construire la matrice suivante

$$W = \begin{pmatrix} 0 & 1 & 2 & 3 \\ 1 & 0 & 3 & 4 \\ 2 & 3 & 0 & 1 \\ 3 & 4 & 1 & 0 \end{pmatrix}$$

Dans le cadre du problème MaxCut, on cherche une coupe maximale, donc un sous-ensemble  $E$  des nœuds du graphe qui maximise la coupe.

Connaissant  $E$ , on peut associer au nœud de rang  $i$  la valeur 1 s'il est dans  $E$  et 0 sinon. Cela nous permet de construire un vecteur  $x$  de valeur binaire. Inversement, un vecteur binaire  $x \in \mathbb{B}^4$  décrit parfaitement une coupe.

# Résoudre MaxCut avec QUBO 3/3

Considérons à présent la fonction de coût suivante qui représentée par un vecteur binaire  $x$

$$x \in \mathbb{B}^4, C(x) = \sum_{i,j} W_{ij} x_i (1 - x_j)$$

- $x_i$  est non nul si le noeud  $i$  est dans  $E$
- $1 - x_j$  est non nul si le noeud  $j$  **n'est pas** dans  $E$
- le terme  $x_i(1 - x_j)$ , qui est associé à l'arête entre  $i$  et  $j$ , sera non nul si cette arête est dans la coupe, donc si elle relie deux points dans  $E$  et hors de  $F$
- on fait donc la somme des poids  $W_{ij}$  des arêtes dans la coupe, les autres termes sont nuls.

$$c \in \mathbb{R}^4, c_i = \sum_j W_{ij} \text{ et } Q = -W, \forall i, j Q_{ij} = -W_{ij}$$

$$C(x) = \sum_{i,j} W_{ij} x_i (1 - x_j) = C(x) = - \sum_{i,j} W_{ij} x_i x_j + \sum_i c_i x_i = x^T \cdot Q \cdot x + c^T \cdot x$$

ce qui est la formulation classique du QUBO

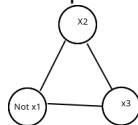
# Le problème 3-SAT est un problème de type MIS 1/2

Le problème 3-SAT, peut être résolu à l'aide d'un QUBO. La procédure consiste à traduire la formulation de 3-SAT en un problème de graphe de type MIS qui peut être lui-même transformé en QUBO.

Considérons une CNF qui comprend  $n$  variables et  $m$  clauses.

- pour chaque clause, on construit un petit graphe à 3 sommets, chaque sommet étant une variable ou la négation d'une variable ;
- chacun de ses "sous-graphes"<sup>3</sup>, est connecté en raccordant les nœuds qui représentent une variable et sa négation.

Par exemple, la clause  $\neg x_1 \vee x_2 \vee x_3$  sera représentée par le graphe de la figure suivante



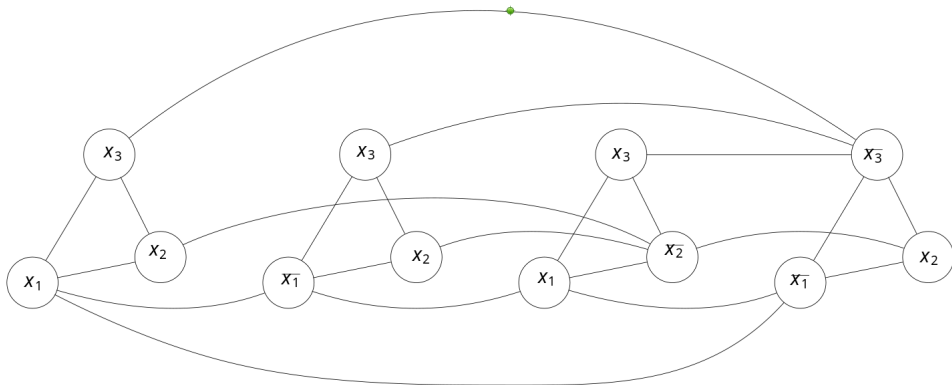
---

3. un tel sous-graphe est désigné sous le nom de *clique*

## Le problème 3-SAT est un problème de type MIS 2/2

On interconnecte ensuite les sous-graphes en reliant les variables et leurs négations. Considérons la CNF suivante

$$(x_1 \vee x_2 \vee x_3) \wedge (\neg x_1 \vee x_2 \vee x_3) \wedge (x_1 \vee \neg x_2 \vee x_3) \wedge (\neg x_1 \vee x_2 \vee \neg x_3)$$



## Problème 3-SAT via QUBO/MIS

On peut démontrer que la résolution du problème MIS sur ce graphe permet de trouver une solution maximale de la clause correspondante. Si la taille de ce MIS est égale au nombre de clauses dans la CNF, alors celle-ci peut être satisfaite.

On rappelle que SAT veut savoir si une clause peut oui ou non être satisfaite, mais ne cherche pas forcément une combinaison de variables booléennes qui satisfasse. SAT cherche juste à savoir si une telle solution existe.

Si la taille du MIS trouvée est inférieure au nombre de clauses, alors la CNF ne peut pas être satisfaite.

# Les problèmes NP sont partout

Les problèmes NP sont très communs en théorie des graphes et dans le domaine de l'optimisation.

Ils sont souvent simples à décrire mais complexe à résoudre

- Le problème du voyageur de commerce (TSP) est important en logistique
- la détection de "cliques" dans des graphes intéressent les réseaux sociaux
- de nombreux problèmes d'optimisation (coûts quadratiques) se ramènent à un QUBO
- MAXCut est associé à des algorithmes de prise de décision

Si le théorème de Cook garantit que la conversion "NP vers NPC" est P, trouver comment traduire est très compliqué. Une bibliographie importante existe autour de QUBO qui peut être approché depuis 1984 avec du HPC.

# Retour sur le problème MIS

Le problème que peut traiter la machine est PASQAL est le *Maximum Independent Set*

- considérons un graphe  $(G; E)$ 
  - $G$  est un ensemble de points, ou sommets (ou *vertices*) dans un espace à  $n$  dimensions
  - $E$  est un ensemble de segments, ou arêtes (ou *edges*) qui relie deux points de  $G$
- on cherche le, ou les, plus grand(s) ensemble de sommets dont les membres ne sont pas connectés entre eux.

Dans le cas des machines PASQAL, on considère des graphes **unitaires**

- les sommets dont la distance est inférieur à un rayon **R** donné sont connectés
- deux sommets connectés sont forcément plus proche que **R**

Le problème MIS est dual du problème MCS (*Minimum Converging set*)

- identifier l'ensemble le plus petit possible de sommets où poser des "caméras" pour voir toutes les arêtes du graphe
- on démontre facilement que les solutions de MIS et MVS sont complémentaire

# Machine PASQAL : Les bases physiques

Pour résoudre MIS, la machine PASQAL met en œuvre différents mécanismes

- des atomes de rubidium monovalents émis par une ampoule dans une chambre à vides, ralentis et positionnés par des lasers
- le niveau de valence le plus bas et le niveau le plus haut encode les états  $|0\rangle$  et  $|1\rangle$
- les atomes sont intriqués via le phénomène de blocage de Rydberg (*Rydberg blockade*)
- on sait éjecter les atomes dans l'état  $|1\rangle$  (mais on sait parfaitement où ils étaient)
- on sait voir les autres par fluorescence, on sait donc mesurer les états de chaque atome

Par ailleurs

- ne sont intriqués que des atomes dont la distance est inférieure au rayon de Rydberg
- deux atomes intriqués sont dans l'état  $\frac{1}{\sqrt{2}}(|01\rangle + |10\rangle)$

# L'API Pulser n'est pas une API de programmation

L'API de Pasqal est une API de "control command"

- On dit où sont les atomes
- on définit les rayon du graphe unitaire, ce qui définit les arêtes
- on définit la forme de l'onde laser qui va exciter les atomes
- on fait beaucoup de tirs et on en tire des conclusions

On ne fait pas de "programmes", on définit une expérience qui représente le problème qui nous intéresse

# Exemple de code - Initialisation

On initialise l'environnement de programmation comme suit

```
import numpy as np
from pulser import Pulse, Sequence, Register
from pulser_simulation import Simulation
from pulser.devices import MockDevice
from pulser.waveforms import RampWaveform, ConstantWaveform

import matplotlib.pyplot as plt
import qutip
```

## Exemple de code - description du graphe

```
# Define a dictionary where each key is the name of the qubit,  
# and each value is the qubit's position (in um)
```

```
qubit_positions = {  
    'q0': (0, 0),  
    'q1': (3, 5.2),  
    'q2': (6, 0),  
    'q3': (9, -5.2)  
}
```

Ce dictionnaire est ensuite transformé en registre.

```
# Arrangements of qubits on the machine are called a register  
# Define a register in Pulser by passing the qubit dictionary  
reg = Register(qubit_positions)  
reg.draw()
```

# Rayon du graphe unitaire

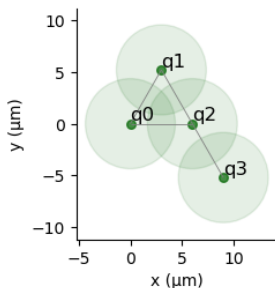
```
# Define the maximum Rabi frequency via a blockade radius
```

```
blockade_radius = 8.7
```

```
Omega_max = MockDevice.rabi_from_blockade(blockade_radius)
```

```
# Visualize the edges induced by the chosen blockade radius
```

```
reg.draw(blockade_radius=blockade_radius)
```



# Définir l'impulsion laser

```
# A Sequence is the object that contains all
# the info about the quantum evolution
seq = Sequence(reg, MockDevice)

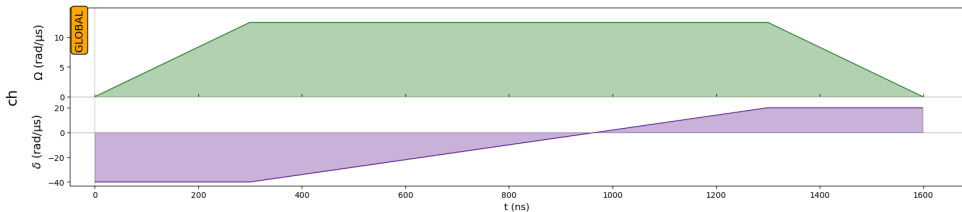
# Now we want to fill the channel with pulses
# First we need to define the waveforms for the pulses
# First ramp
omega_wf_1 = RampWaveform(300, 0, Omega_max)

#arguments are duration (ns), detuning (rad/us)
delta_wf_1 = ConstantWaveform(300, -40)

first_pulse = Pulse(omega_wf_1, delta_wf_1, 0)
seq.add(first_pulse, 'ch')
seq.draw()
```

# Forme de l'impulsion

L'impulsion laser aura ainsi la forme suivante



# Pulser - fin du code

```
# The sequence is ready now for simulation

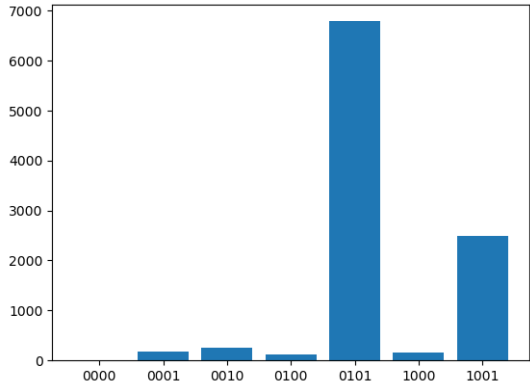
sim = Simulation(seq)
results = sim.run()

# The result can be sampled
samples = results.sample_final_state(10000)

# And the sampling can be visualized
plt.bar(samples.keys(), samples.values())
```

# Résultat

On voit le résultat suivant



On voit deux solutions :  $|0101\rangle$  et  $|1001\rangle$ . ce sont les solutions du problème MIS.





























# Sequence Pulser paramétrée

```
LAYERS = 2
```

```
# Parametrized sequence
```

```
seq = Sequence(reg, DigitalAnalogDevice)
seq.declare_channel("ch0", "rydberg_global")
```

```
t_list = seq.declare_variable("t_list", size=LAYERS)
s_list = seq.declare_variable("s_list", size=LAYERS)
```

```
for t, s in zip(t_list, s_list):
    pulse_1 = Pulse.ConstantPulse(1000 * t, 1.0, 0.0, 0)
    pulse_2 = Pulse.ConstantPulse(1000 * s, 0.0, 1.0, 0)
```

```
seq.add(pulse_1, "ch0")
seq.add(pulse_2, "ch0")
```

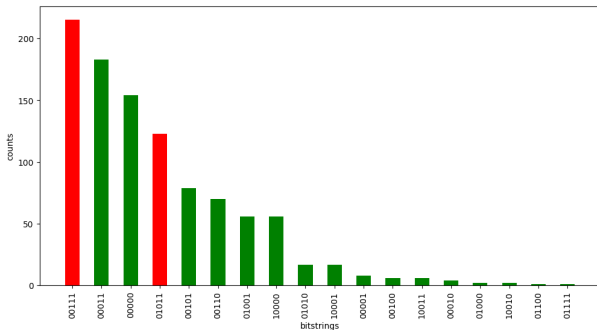
```
seq.measure("ground-rydberg")
```





# Résultats après plusieurs itérations

Après un run de quantum\_loop, On voit ceci (solutions cherchées en rouge)



On sait que 01011 et 00111 sont les solutions, elles ne ressortent pas de façon flagrante.



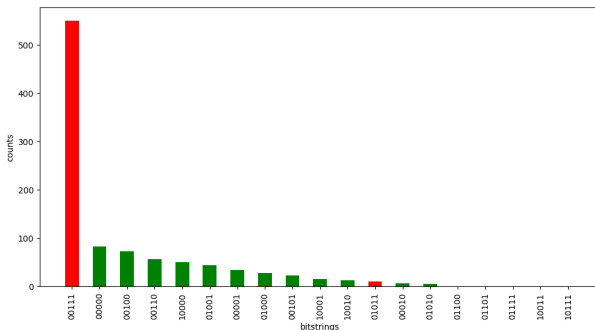
# Invocation d'un optimiseur HPC

```
scores = []
params = []
(...)
    try:
        res = minimize(
            func,
            args=Q,
            x0=np.r_[guess["t"], guess["s"]],
            method="Nelder-Mead",
            tol=1e-5,
            options={"maxiter": 10},
        )
        scores.append(res.fun)
        params.append(res.x)
    (...)

```



# Résultats après plusieurs itérations de l'optimiseur



Une solution ressort clairement, mais la second est toujours inaccessible.



# Calcul quantique adiabatique

Toute l'informatique quantique analogique s'appuie sur ce principe :

- on encode le problème à résoudre sous la forme d'un hamiltonien ;
- on part d'un système quantique dans un état de base connu avec un hamiltonien de référence connu ;
- on fait évoluer cet hamiltonien depuis celui de référence vers celui qui encode le problème, en respectant les contraintes du théorème adiabatique ;
- on dispose à la fin de l'état de base de l'hamiltonien de destination, celui qui encode le problème

Cette approche est très efficace, elle permet de trouver rapidement et de façon purement analogique, des minima de fonctions très complexes, dont la recherche avec des ordinateurs classiques relèvent de la nature *NP hard*.





# Evolution adiabatique

Les formes d'onde  $\Omega$  et  $\delta$  sont les suivantes

